

# Groupoïdes de Garside et groupes de tresses complexes

## Colloque tournant du RT algèbre

Owen Garnier

Laboratoire Amiénois de Mathématique Fondamentale et Appliquée  
Université de Picardie Jules Verne (Amiens)

6 mars 2025



# Notations pour les groupes de réflexions complexes

$V$  un  $\mathbb{C}$ -espace vectoriel de dimension  $n < \infty$ .

# Notations pour les groupes de réflexions complexes

$V$  un  $\mathbb{C}$ -espace vectoriel de dimension  $n < \infty$ .

**Réflexion complexe:**  $s \in \mathrm{GL}(V)$  d'ordre fini et  $\dim \mathrm{Ker}(s - 1) = n - 1$ .

# Notations pour les groupes de réflexions complexes

$V$  un  $\mathbb{C}$ -espace vectoriel de dimension  $n < \infty$ .

**Réflexion complexe:**  $s \in \mathrm{GL}(V)$  d'ordre fini et  $\dim \mathrm{Ker}(s - 1) = n - 1$ .

## Définition

Un groupe fini  $W \leq \mathrm{GL}(V)$  est un **groupe de réflexions complexe** (GRC) s'il est engendré par des réflexions.

# Notations pour les groupes de réflexions complexes

$V$  un  $\mathbb{C}$ -espace vectoriel de dimension  $n < \infty$ .

**Réflexion complexe:**  $s \in \mathrm{GL}(V)$  d'ordre fini et  $\dim \mathrm{Ker}(s - 1) = n - 1$ .

## Définition

Un groupe fini  $W \leq \mathrm{GL}(V)$  est un **groupe de réflexions complexe** (GRC) s'il est engendré par des réflexions.

Pour  $W \leq \mathrm{GL}(V)$  un GRC, on définit l'**arrangement de réflexions** par

$$\mathcal{A} := \{ \mathrm{Ker}(s - 1) \mid s \in W \text{ est une réflexion} \}.$$

# Notations pour les groupes de réflexions complexes

$V$  un  $\mathbb{C}$ -espace vectoriel de dimension  $n < \infty$ .

**Réflexion complexe:**  $s \in \mathrm{GL}(V)$  d'ordre fini et  $\dim \mathrm{Ker}(s - 1) = n - 1$ .

## Définition

Un groupe fini  $W \leq \mathrm{GL}(V)$  est un **groupe de réflexions complexe** (GRC) s'il est engendré par des réflexions.

Pour  $W \leq \mathrm{GL}(V)$  un GRC, on définit l'**arrangement de réflexions** par

$$\mathcal{A} := \{ \mathrm{Ker}(s - 1) \mid s \in W \text{ est une réflexion} \}.$$

L'ensemble des **vecteurs réguliers** est  $X := V \setminus \bigcup \mathcal{A}$ .

L'espace des **orbites régulières** est  $X/W$ .

# Classification de Shephard-Todd

$W$  **irréductible** :  $W \hookrightarrow \mathrm{GL}(V)$  est une représentation irréductible.

# Classification de Shephard-Todd

$W$  **irréductible** :  $W \hookrightarrow \mathrm{GL}(V)$  est une représentation irréductible.  
Tout GRC est produit de GRCs irréductibles.



# Classification de Shephard-Todd

$W$  **irréductible** :  $W \hookrightarrow \mathrm{GL}(V)$  est une représentation irréductible.

Tout GRC est produit de GRCs irréductibles.

Shephard et Todd '54: Classification des GRCs irréductibles.

# Classification de Shephard-Todd

$W$  **irréductible** :  $W \hookrightarrow \mathrm{GL}(V)$  est une représentation irréductible.

Tout GRC est produit de GRCs irréductibles.

Shephard et Todd '54: Classification des GRCs irréductibles.

D'un côté, une série infinie de groupes  $G(de, e, n)$  formés de :

- matrices monomiales  $n \times n$ ,
- avec coefficients non nuls dans  $\mu_r$ ,  $r = de$ ,
- dont le produit appartient à  $\mu_d$ .

# Classification de Shephard-Todd

$W$  **irréductible** :  $W \hookrightarrow \mathrm{GL}(V)$  est une représentation irréductible.

Tout GRC est produit de GRCs irréductibles.

Shephard et Todd '54: Classification des GRCs irréductibles.

D'un côté, une série infinie de groupes  $G(de, e, n)$  formés de :

- matrices monomiales  $n \times n$ ,
- avec coefficients non nuls dans  $\mu_r$ ,  $r = de$ ,
- dont le produit appartient à  $\mu_d$ .

On a  $G(de, e, n) \subset G(r, 1, n)$  sous-groupe normal d'indice  $e$ .

# Classification de Shephard-Todd

$W$  **irréductible** :  $W \hookrightarrow \mathrm{GL}(V)$  est une représentation irréductible.

Tout GRC est produit de GRCs irréductibles.

Shephard et Todd '54: Classification des GRCs irréductibles.

D'un côté, une série infinie de groupes  $G(de, e, n)$  formés de :

- matrices monomiales  $n \times n$ ,
- avec coefficients non nuls dans  $\mu_r$ ,  $r = de$ ,
- dont le produit appartient à  $\mu_d$ .

On a  $G(de, e, n) \subset G(r, 1, n)$  sous-groupe normal d'indice  $e$ .

D'un autre côté, 34 groupes exceptionnels  $G_4, \dots, G_{37}$ . Parmi eux, 19 sont de rang 2.

# Classification de Shephard-Todd

$W$  **irréductible** :  $W \hookrightarrow \mathrm{GL}(V)$  est une représentation irréductible.

Tout GRC est produit de GRCs irréductibles.

Shephard et Todd '54: Classification des GRCs irréductibles.

D'un côté, une série infinie de groupes  $G(de, e, n)$  formés de :

- matrices monomiales  $n \times n$ ,
- avec coefficients non nuls dans  $\mu_r$ ,  $r = de$ ,
- dont le produit appartient à  $\mu_d$ .

On a  $G(de, e, n) \subset G(r, 1, n)$  sous-groupe normal d'indice  $e$ .

D'un autre côté, 34 groupes exceptionnels  $G_4, \dots, G_{37}$ . Parmi eux, 19 sont de rang 2.

Il est possible d'utiliser des preuves au cas-par-cas.

# Classification de Shephard-Todd

$W$  irréductible.

## Corollaire

$W$  peut être engendré par un ensemble de  $n + 1$  réflexions.

# Classification de Shephard-Todd

$W$  irréductible.

## Corollaire

$W$  peut être engendré par un ensemble de  $n + 1$  réflexions.

Si  $W$  peut être engendré par  $n$  réflexions, alors  $W$  est **bien-engendré**.

# Classification de Shephard-Todd

$W$  irréductible.

## Corollaire

$W$  peut être engendré par un ensemble de  $n + 1$  réflexions.

Si  $W$  peut être engendré par  $n$  réflexions, alors  $W$  est **bien-engendré**.

## Corollaire

$W$  admet au plus trois classes de conjugaison de réflexions (deux si  $W$  est bien-engendré).



# Broué, Malle, Rouquier '98

Motivé par la théorie des représentations des groupes réductifs finis.

# Broué, Malle, Rouquier '98

Motivé par la théorie des représentations des groupes réductifs finis.

- Groupe de tresses  $B = B(W) := \pi_1(X/W)$ .
- Groupe de tresses pur  $P = P(W) := \pi_1(X)$ .
- Notation :  $B_i = B(G_i)$  et  $B(de, e, n) = B(G(de, e, n))$ .

# Broué, Malle, Rouquier '98

Motivé par la théorie des représentations des groupes réductifs finis.

- Groupe de tresses  $B = B(W) := \pi_1(X/W)$ .
- Groupe de tresses pur  $P = P(W) := \pi_1(X)$ .
- Notation :  $B_i = B(G_i)$  et  $B(de, e, n) = B(G(de, e, n))$ .
- Suite exacte courte  $1 \rightarrow P \rightarrow B \rightarrow W \rightarrow 1$ .

# Broué, Malle, Rouquier '98

Motivé par la théorie des représentations des groupes réductifs finis.

- Groupe de tresses  $B = B(W) := \pi_1(X/W)$ .
- Groupe de tresses pur  $P = P(W) := \pi_1(X)$ .
- Notation :  $B_i = B(G_i)$  et  $B(de, e, n) = B(G(de, e, n))$ .
- Suite exacte courte  $1 \rightarrow P \rightarrow B \rightarrow W \rightarrow 1$ .
- $B$  est engendré par des **réflexions tressées** (distinguées).

# Broué, Malle, Rouquier '98

Motivé par la théorie des représentations des groupes réductifs finis.

- Groupe de tresses  $B = B(W) := \pi_1(X/W)$ .
- Groupe de tresses pur  $P = P(W) := \pi_1(X)$ .
- Notation :  $B_i = B(G_i)$  et  $B(de, e, n) = B(G(de, e, n))$ .
- Suite exacte courte  $1 \rightarrow P \rightarrow B \rightarrow W \rightarrow 1$ .
- $B$  est engendré par des **réflexions tressées** (distinguées).
- Si  $W$  Coxeter,  $B$  est le **groupe d'Artin** de  $W$ .

# Broué, Malle, Rouquier '98

Motivé par la théorie des représentations des groupes réductifs finis.

- Groupe de tresses  $B = B(W) := \pi_1(X/W)$ .
- Groupe de tresses pur  $P = P(W) := \pi_1(X)$ .
- Notation :  $B_i = B(G_i)$  et  $B(de, e, n) = B(G(de, e, n))$ .
- Suite exacte courte  $1 \rightarrow P \rightarrow B \rightarrow W \rightarrow 1$ .
- $B$  est engendré par des **réflexions tressées** (distinguées).
- Si  $W$  Coxeter,  $B$  est le **groupe d'Artin** de  $W$ .
- **Diagrammes de BMR**, donnant une présentation de  $W$ .

# Diagrammes de BMR

Groupes réels=groupes de Coxeter finis  $\rightarrow$  diagrammes de Coxeter :

# Diagrammes de BMR

Groupes réels=groupes de Coxeter finis  $\rightarrow$  diagrammes de Coxeter :

- Présentation de  $W$ .



# Diagrammes de BMR

Groupes réels=groupes de Coxeter finis  $\rightarrow$  diagrammes de Coxeter :

- Présentation de  $W$ .
- Présentation du groupe d'Artin associé à  $W$ .

# Diagrammes de BMR

Groupes réels=groupes de Coxeter finis  $\rightarrow$  diagrammes de Coxeter :

- Présentation de  $W$ .
- Présentation du groupe d'Artin associé à  $W$ .
- Présentation des sous-groupes “paraboliques” de  $W$ , et de  $B$ .

# Diagrammes de BMR

Groupes réels=groupes de Coxeter finis  $\rightarrow$  diagrammes de Coxeter :

- Présentation de  $W$ .
- Présentation du groupe d'Artin associé à  $W$ .
- Présentation des sous-groupes “paraboliques” de  $W$ , et de  $B$ .

Groupes de réflexions complexes  $\rightarrow$  diagrammes de BMR :

# Diagrammes de BMR

Groupes réels=groupes de Coxeter finis  $\rightarrow$  diagrammes de Coxeter :

- Présentation de  $W$ .
- Présentation du groupe d'Artin associé à  $W$ .
- Présentation des sous-groupes “paraboliques” de  $W$ , et de  $B$ .

Groupes de réflexions complexes  $\rightarrow$  diagrammes de BMR :

- Présentation de  $W$  ✓

# Diagrammes de BMR

Groupes réels=groupes de Coxeter finis  $\rightarrow$  diagrammes de Coxeter :

- Présentation de  $W$ .
- Présentation du groupe d'Artin associé à  $W$ .
- Présentation des sous-groupes “paraboliques” de  $W$ , et de  $B$ .

Groupes de réflexions complexes  $\rightarrow$  diagrammes de BMR :

- Présentation de  $W$  ✓
- Présentation de  $B$  ?

# Diagrammes de BMR

Groupes réels=groupes de Coxeter finis  $\rightarrow$  diagrammes de Coxeter :

- Présentation de  $W$ .
- Présentation du groupe d'Artin associé à  $W$ .
- Présentation des sous-groupes “paraboliques” de  $W$ , et de  $B$ .

Groupes de réflexions complexes  $\rightarrow$  diagrammes de BMR :

- Présentation de  $W$  ✓
- Présentation de  $B$  ?
- Présentation des sous-groupes paraboliques de  $B$  ?

# Diagrammes de BMR

Groupes réels=groupes de Coxeter finis  $\rightarrow$  diagrammes de Coxeter :

- Présentation de  $W$ .
- Présentation du groupe d'Artin associé à  $W$ .
- Présentation des sous-groupes “paraboliques” de  $W$ , et de  $B$ .

Groupes de réflexions complexes  $\rightarrow$  diagrammes de BMR :

- Présentation de  $W$  ✓
- Présentation de  $B$  ?
- Présentation des sous-groupes paraboliques de  $B$  ?
- Sous-groupes paraboliques de  $B$  ?

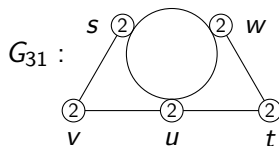
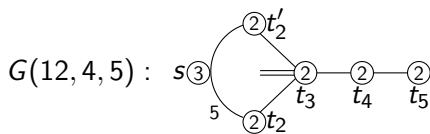
# Diagrammes de BMR

Groupes réels=groupes de Coxeter finis  $\rightarrow$  diagrammes de Coxeter :

- Présentation de  $W$ .
- Présentation du groupe d'Artin associé à  $W$ .
- Présentation des sous-groupes "paraboliques" de  $W$ , et de  $B$ .

Groupes de réflexions complexes  $\rightarrow$  diagrammes de BMR :

- Présentation de  $W$  ✓
- Présentation de  $B$  ?
- Présentation des sous-groupes paraboliques de  $B$  ?
- Sous-groupes paraboliques de  $B$  ?





## Questions soulevées par BMR

$W$  irréductible.

- Détermination des centres de  $B$  et de  $P$ .

## Questions soulevées par BMR

$W$  irréductible.

- Détermination des centres de  $B$  et de  $P$ . Le chemin  $t \mapsto e^{\frac{2i\pi}{|Z(W)|}} t_*$  induit un lacet dans  $X/W$ . Son image dans  $B$  est notée  $z_B$ .

## Questions soulevées par BMR

$W$  irréductible.

- Détermination des centres de  $B$  et de  $P$ . Le chemin  $t \mapsto e^{\frac{2i\pi}{|Z(W)|}} t_*$  induit un lacet dans  $X/W$ . Son image dans  $B$  est notée  $z_B$ .

Conjecture (Broué, Malle, Rouquier '98)

$Z(B) = \langle z_B \rangle$  et  $Z(P) = \langle z_P \rangle$ , avec  $z_P := (z_B)^{|Z(W)|}$ .

## Questions soulevées par BMR

$W$  irréductible.

- Détermination des centres de  $B$  et de  $P$ . Le chemin  $t \mapsto e^{\frac{2i\pi}{|Z(W)|}} t_*$  induit un lacet dans  $X/W$ . Son image dans  $B$  est notée  $z_B$ .

Conjecture (Broué, Malle, Rouquier '98)

$Z(B) = \langle z_B \rangle$  et  $Z(P) = \langle z_P \rangle$ , avec  $z_P := (z_B)^{|Z(W)|}$ .

- Le diagramme de BMR fournit-il une présentation de  $B$  ?

## Questions soulevées par BMR

$W$  irréductible.

- Détermination des centres de  $B$  et de  $P$ . Le chemin  $t \mapsto e^{\frac{2i\pi}{|Z(W)|}} t_*$  induit un lacet dans  $X/W$ . Son image dans  $B$  est notée  $z_B$ .

Conjecture (Broué, Malle, Rouquier '98)

$Z(B) = \langle z_B \rangle$  et  $Z(P) = \langle z_P \rangle$ , avec  $z_P := (z_B)^{|Z(W)|}$ .

- Le diagramme de BMR fournit-il une présentation de  $B$  ?
- Le monoïde défini par la même présentation se plonge-t-il dans  $B$  ?

## Questions soulevées par BMR

$W$  irréductible.

- Détermination des centres de  $B$  et de  $P$ . Le chemin  $t \mapsto e^{\frac{2i\pi}{|Z(W)|}} t_*$  induit un lacet dans  $X/W$ . Son image dans  $B$  est notée  $z_B$ .

Conjecture (Broué, Malle, Rouquier '98)

$Z(B) = \langle z_B \rangle$  et  $Z(P) = \langle z_P \rangle$ , avec  $z_P := (z_B)^{|Z(W)|}$ .

- Le diagramme de BMR fournit-il une présentation de  $B$  ?
- Le monoïde défini par la même présentation se plonge-t-il dans  $B$  ?
- + Est-ce que  $X/W$  est un  $K(\pi, 1)$  ?

## Questions soulevées par BMR

$W$  irréductible.

- Détermination des centres de  $B$  et de  $P$ . Le chemin  $t \mapsto e^{\frac{2i\pi}{|Z(W)|}} t$  induit un lacet dans  $X/W$ . Son image dans  $B$  est notée  $z_B$ .

Conjecture (Broué, Malle, Rouquier '98)

$Z(B) = \langle z_B \rangle$  et  $Z(P) = \langle z_P \rangle$ , avec  $z_P := (z_B)^{|Z(W)|}$ .

- Le diagramme de BMR fournit-il une présentation de  $B$  ?
- Le monoïde défini par la même présentation se plonge-t-il dans  $B$  ?
- + Est-ce que  $X/W$  est un  $K(\pi, 1)$  ?

À la publication de BMR, ces questions sont résolues pour la plupart des GRCs sauf

$$G_{24}, G_{27}, G_{29}, G_{31}, G_{33}, G_{34}.$$

# Le monoïde dual

$W$  bien-engendré.



# Le monoïde dual

$W$  bien-engendré.

Théorème (Bessis '15 + Ripoll '10 and Douvropoulos '17)

- $Z(B)$  est monogène comme conjecturé par BMR.
- L'espace  $X/W$  est un  $K(\pi, 1)$ .
- Présentation de  $B$ , dite *présentation d'Hurwitz*.

# Le monoïde dual

$W$  bien-engendré.

**Théorème (Bessis '15 + Ripoll '10 and Douvropoulos '17)**

- $Z(B)$  est monogène comme conjecturé par BMR.
- L'espace  $X/W$  est un  $K(\pi, 1)$ .
- Présentation de  $B$ , dite *présentation d'Hurwitz*.

Cette approche s'applique en particulier à  $G_{24}$ ,  $G_{27}$ ,  $G_{29}$ ,  $G_{33}$ ,  $G_{34}$ .

# Le monoïde dual

$W$  bien-engendré.

## Théorème (Bessis '15 + Ripoll '10 and Douvropoulos '17)

- $Z(B)$  est monogène comme conjecturé par BMR.
- L'espace  $X/W$  est un  $K(\pi, 1)$ .
- Présentation de  $B$ , dite *présentation d'Hurwitz*.

Cette approche s'applique en particulier à  $G_{24}$ ,  $G_{27}$ ,  $G_{29}$ ,  $G_{33}$ ,  $G_{34}$ .

Les questions de BMR sont toujours sans réponses à ce stade pour  $G_{31}$ .

# Groupes de Garside

Soit  $G$  un groupe.

# Groupes de Garside

Soit  $G$  un groupe.

Définition [Dehornoy, Paris '99]

**Structure de Garside** sur  $G$  : monoïde  $M \subset G$  et  $\Delta \in M$  tel que

- $M$  engendre  $G$  en tant que groupe.
- $M$  est un treillis pour la divisibilité à gauche et à droite.
- Pour  $x \in M$ , la longueur d'un produit  $x = s_1 \cdots s_r$  avec  $s_i \neq 1$  dans  $M$  est bornée.
- $\text{Div}(\Delta) = \text{Div}_D(\Delta)$  est fini et engendre  $M$ .

# Groupes de Garside

Soit  $G$  un groupe.

**Définition [Dehornoy, Paris '99]**

**Structure de Garside** sur  $G$  : monoïde  $M \subset G$  et  $\Delta \in M$  tel que

- $M$  engendre  $G$  en tant que groupe.
- $M$  est un treillis pour la divisibilité à gauche et à droite.
- Pour  $x \in M$ , la longueur d'un produit  $x = s_1 \cdots s_r$  avec  $s_i \neq 1$  dans  $M$  est bornée.
- $\text{Div}(\Delta) = \text{Div}_D(\Delta)$  est fini et engendre  $M$ .

On note un *groupe de Garside* par un triplet  $(G, M, \Delta)$ .

# Structures de Garside pour les groupes de tresses complexes

# Structures de Garside pour les groupes de tresses complexes

- Groupe de Coxeter : **monoïde d'Artin-Tits**  
(Deligne '72, Brieskorn-Saito '72, Dehornoy-Paris '99).



# Structures de Garside pour les groupes de tresses complexes

- Groupe de Coxeter : **monoïde d'Artin-Tits**  
(Deligne '72, Brieskorn-Saito '72, Dehornoy-Paris '99).
- “Groupes de Shephard” : même monoïde qu'un groupe de Coxeter  
(Orlik-Solomon '88).

# Structures de Garside pour les groupes de tresses complexes

- Groupe de Coxeter : **monoïde d'Artin-Tits**  
(Deligne '72, Brieskorn-Saito '72, Dehornoy-Paris '99).
- “Groupes de Shephard” : même monoïde qu'un groupe de Coxeter  
(Orlik-Solomon '88).
- Groupes exceptionnels de rang 2 : structures *ad hoc*  
(Dehornoy-Paris '99, Picantin '00).

# Structures de Garside pour les groupes de tresses complexes

- Groupe de Coxeter : **monoïde d'Artin-Tits**  
(Deligne '72, Brieskorn-Saito '72, Dehornoy-Paris '99).
- "Groupes de Shephard" : même monoïde qu'un groupe de Coxeter  
(Orlik-Solomon '88).
- Groupes exceptionnels de rang 2 : structures *ad hoc*  
(Dehornoy-Paris '99, Picantin '00).
- Groupes bien-engendrés : **monoïde dual**  
(Birman-Ko-Lee '98, Bessis 03, Bessis-Corran 06, Bessis '15).

# Structures de Garside pour les groupes de tresses complexes

- Groupe de Coxeter : **monoïde d'Artin-Tits**  
(Deligne '72, Brieskorn-Saito '72, Dehornoy-Paris '99).
- "Groupes de Shephard" : même monoïde qu'un groupe de Coxeter  
(Orlik-Solomon '88).
- Groupes exceptionnels de rang 2 : structures *ad hoc*  
(Dehornoy-Paris '99, Picantin '00).
- Groupes bien-engendrés : **monoïde dual**  
(Birman-Ko-Lee '98, Bessis 03, Bessis-Corran 06, Bessis '15).

Cela exclut  $B(d, e, n)$  pour  $n \geq 3$  et  $d \geq 2$  ou  $e \geq 3$  ...

# Structures de Garside pour les groupes de tresses complexes

- Groupe de Coxeter : **monoïde d'Artin-Tits**  
(Deligne '72, Brieskorn-Saito '72, Dehornoy-Paris '99).
- "Groupes de Shephard" : même monoïde qu'un groupe de Coxeter  
(Orlik-Solomon '88).
- Groupes exceptionnels de rang 2 : structures *ad hoc*  
(Dehornoy-Paris '99, Picantin '00).
- Groupes bien-engendrés : **monoïde dual**  
(Birman-Ko-Lee '98, Bessis 03, Bessis-Corran 06, Bessis '15).

Cela exclut  $B(d, e, n)$  pour  $n \geq 3$  et  $d \geq 2$  ou  $e \geq 3$  ... et  $B_{31}$ .

# Produits d'une structure de Garside

Un groupe de Garside  $(G, M, \Delta)$  donne les informations suivantes :

# Produits d'une structure de Garside

Un groupe de Garside  $(G, M, \Delta)$  donne les informations suivantes :

- Solution du problème du mot sur  $G$  (forme normale)  
(Dehornoy-Paris '99).

# Produits d'une structure de Garside

Un groupe de Garside  $(G, M, \Delta)$  donne les informations suivantes :

- Solution du problème du mot sur  $G$  (forme normale)  
(Dehornoy-Paris '99).
- Solution au problème de conjugaison dans  $G \longrightarrow$  étude de  $Z(G)$   
(Picantin '01, Gebhardt-González-Meneses '10).



# Produits d'une structure de Garside

Un groupe de Garside  $(G, M, \Delta)$  donne les informations suivantes :

- Solution du problème du mot sur  $G$  (forme normale)  
(Dehornoy-Paris '99).
- Solution au problème de conjugaison dans  $G \longrightarrow$  étude de  $Z(G)$   
(Picantin '01, Gebhardt-González-Meneses '10).
- Construction explicite d'un  $K(G, 1)$  fini (nerf de Garside)  
(Charney-Meier-Whittlesey '04).

# Produits d'une structure de Garside

Un groupe de Garside  $(G, M, \Delta)$  donne les informations suivantes :

- Solution du problème du mot sur  $G$  (forme normale) (Dehornoy-Paris '99).
- Solution au problème de conjugaison dans  $G \longrightarrow$  étude de  $Z(G)$  (Picantin '01, Gebhardt-González-Meneses '10).
- Construction explicite d'un  $K(G, 1)$  fini (nerf de Garside) (Charney-Meier-Whittlesey '04).
- Calcul de l'homologie de  $M$ , qui coïncide avec celle de  $G$  (Dehornoy-Lafont '03).

# Produits d'une structure de Garside

Un groupe de Garside  $(G, M, \Delta)$  donne les informations suivantes :

- Solution du problème du mot sur  $G$  (forme normale) (Dehornoy-Paris '99).
- Solution au problème de conjugaison dans  $G \longrightarrow$  étude de  $Z(G)$  (Picantin '01, Gebhardt-González-Meneses '10).
- Construction explicite d'un  $K(G, 1)$  fini (nerf de Garside) (Charney-Meier-Whittlesey '04).
- Calcul de l'homologie de  $M$ , qui coïncide avec celle de  $G$  (Dehornoy-Lafont '03).
- Les atomes de  $M$  donnent une présentation de  $M$ , et donc de  $G$  (Dehornoy-Paris '99).

# Produits d'une structure de Garside

Un groupe de Garside  $(G, M, \Delta)$  donne les informations suivantes :

- Solution du problème du mot sur  $G$  (forme normale) (Dehornoy-Paris '99).
- Solution au problème de conjugaison dans  $G \longrightarrow$  étude de  $Z(G)$  (Picantin '01, Gebhardt-González-Meneses '10).
- Construction explicite d'un  $K(G, 1)$  fini (nerf de Garside) (Charney-Meier-Whittlesey '04).
- Calcul de l'homologie de  $M$ , qui coïncide avec celle de  $G$  (Dehornoy-Lafont '03).
- Les atomes de  $M$  donnent une présentation de  $M$ , et donc de  $G$  (Dehornoy-Paris '99).
- Notion de sous-groupe parabolique de  $G$  (Godelle '07).

# Sous-groupes paraboliques des groupes de Garside

$(G, M, \Delta)$  groupe de Garside.

## Sous-groupes paraboliques des groupes de Garside

$(G, M, \Delta)$  groupe de Garside.

Pour  $\delta \in M$ , on pose  $M_\delta := \langle \text{Div}(\delta) \rangle^+$  et  $G_\delta := \langle \text{Div}(\delta) \rangle$ .

## Sous-groupes paraboliques des groupes de Garside

$(G, M, \Delta)$  groupe de Garside.

Pour  $\delta \in M$ , on pose  $M_\delta := \langle \text{Div}(\delta) \rangle^+$  et  $G_\delta := \langle \text{Div}(\delta) \rangle$ .

### Proposition (Godelle '07)

Si  $\delta$  est un **élément de Garside parabolique**, alors  $(G_\delta, M_\delta, \delta)$  est de Garside, et appelé **sous-groupe parabolique standard** de  $(G, M, \Delta)$ .

# Sous-groupes paraboliques des groupes de Garside

$(G, M, \Delta)$  groupe de Garside.

Pour  $\delta \in M$ , on pose  $M_\delta := \langle \text{Div}(\delta) \rangle^+$  et  $G_\delta := \langle \text{Div}(\delta) \rangle$ .

## Proposition (Godelle '07)

Si  $\delta$  est un **élément de Garside parabolique**, alors  $(G_\delta, M_\delta, \delta)$  est de Garside, et appelé **sous-groupe parabolique standard** de  $(G, M, \Delta)$ .

## Définition (Godelle '07)

Un groupe de la forme  $gG_\delta g^{-1}$  est un **sous-groupe parabolique**.



# Sous-groupes paraboliques des groupes de Garside

$(G, M, \Delta)$  groupe de Garside.

Pour  $\delta \in M$ , on pose  $M_\delta := \langle \text{Div}(\delta) \rangle^+$  et  $G_\delta := \langle \text{Div}(\delta) \rangle$ .

## Proposition (Godelle '07)

Si  $\delta$  est un **élément de Garside parabolique**, alors  $(G_\delta, M_\delta, \delta)$  est de Garside, et appelé **sous-groupe parabolique standard** de  $(G, M, \Delta)$ .

## Définition (Godelle '07)

Un groupe de la forme  $gG_\delta g^{-1}$  est un **sous-groupe parabolique**.

Notons que “être parabolique” dépend de  $(G, M, \Delta)$  et pas que de  $G$ .

Exemple:  $\langle a, b \mid aba = bab \rangle^+$  et  $\langle x, y \mid x^2 = y^3 \rangle^+$ .

# Sous-groupes paraboliques des groupes de Garside

$(G, M, \Delta)$  groupe de Garside.

Pour  $\delta \in M$ , on pose  $M_\delta := \langle \text{Div}(\delta) \rangle^+$  et  $G_\delta := \langle \text{Div}(\delta) \rangle$ .

## Proposition (Godelle '07)

Si  $\delta$  est un **élément de Garside parabolique**, alors  $(G_\delta, M_\delta, \delta)$  est de Garside, et appelé **sous-groupe parabolique standard** de  $(G, M, \Delta)$ .

## Définition (Godelle '07)

Un groupe de la forme  $gG_\delta g^{-1}$  est un **sous-groupe parabolique**.

Notons que “être parabolique” dépend de  $(G, M, \Delta)$  et pas que de  $G$ .

Exemple:  $\langle a, b \mid aba = bab \rangle^+$  et  $\langle x, y \mid x^2 = y^3 \rangle^+$ .

Les sous-groupes paraboliques sont-ils stables par intersection ?

# Préservation du support

$(G, M, \Delta)$  groupe de Garside avec  $x \in G$ .

# Préservation du support

$(G, M, \Delta)$  groupe de Garside avec  $x \in G$ .

Si les paraboliques sont stables par intersection, alors  $x$  est contenu dans un unique parabolique minimal  $PC(x)$ , sa *clôture parabolique*.

# Préservation du support

$(G, M, \Delta)$  groupe de Garside avec  $x \in G$ .

Si les paraboliques sont stables par intersection, alors  $x$  est contenu dans un unique parabolique minimal  $PC(x)$ , sa *clôture parabolique*.

Lemme (Godelle '07)

Les sous-groupes parabolique standards sont stables par intersection.

# Préservation du support

$(G, M, \Delta)$  groupe de Garside avec  $x \in G$ .

Si les paraboliques sont stables par intersection, alors  $x$  est contenu dans un unique parabolique minimal  $PC(x)$ , sa *clôture parabolique*.

Lemme (Godelle '07)

Les sous-groupes parabolique standards sont stables par intersection.

On peut donc définir  $SPC(x)$  la *clôture parabolique standard* de  $x$ .

# Préservation du support

$(G, M, \Delta)$  groupe de Garside avec  $x \in G$ .

Si les paraboliques sont stables par intersection, alors  $x$  est contenu dans un unique parabolique minimal  $PC(x)$ , sa *clôture parabolique*.

## Lemme (Godelle '07)

Les sous-groupes parabolique standards sont stables par intersection.

On peut donc définir  $SPC(x)$  la *clôture parabolique standard* de  $x$ . On espère que  $SPC(x) = PC(x)$  dans les bons cas, au moins si  $x \in M$ .

# Préservation du support

$(G, M, \Delta)$  groupe de Garside avec  $x \in G$ .

Si les paraboliques sont stables par intersection, alors  $x$  est contenu dans un unique parabolique minimal  $PC(x)$ , sa *clôture parabolique*.

Lemme (Godelle '07)

Les sous-groupes parabolique standards sont stables par intersection.

On peut donc définir  $SPC(x)$  la *clôture parabolique standard* de  $x$ . On espère que  $SPC(x) = PC(x)$  dans les bons cas, au moins si  $x \in M$ .

Définition (González-Meneses, Marin '22, G. '24)

$(G, M, \Delta)$  **préserve le support** si pour tous  $x, y \in M$ ,  $\alpha \in G$ , on a

$$x^\alpha = y \Rightarrow SPC(x)^\alpha = SPC(y).$$



# Préservation du support

$(G, M, \Delta)$  groupe de Garside.

# Préservation du support

$(G, M, \Delta)$  groupe de Garside.

## Théorème (González-Meneses, Marin '22)

Si  $(G, M, \Delta)$  préserve le support, alors toutes les clôtures paraboliques existent dans  $G$  et  $\text{SPC}(x) = \text{PC}(x)$  pour  $x \in M$ .

De plus, si  $G$  est homogène, alors les sous-groupes paraboliques de  $G$  sont stables par intersection.

# Préservation du support

$(G, M, \Delta)$  groupe de Garside.

## Théorème (González-Meneses, Marin '22)

Si  $(G, M, \Delta)$  préserve le support, alors toutes les clôtures paraboliques existent dans  $G$  et  $\text{SPC}(x) = \text{PC}(x)$  pour  $x \in M$ .

De plus, si  $G$  est homogène, alors les sous-groupes paraboliques de  $G$  sont stables par intersection.

Remarque: En pratique, la préservation du support est très difficile à vérifier.

# Préservation du support

$(G, M, \Delta)$  groupe de Garside.

## Théorème (González-Meneses, Marin '22)

Si  $(G, M, \Delta)$  préserve le support, alors toutes les clôtures paraboliques existent dans  $G$  et  $\text{SPC}(x) = \text{PC}(x)$  pour  $x \in M$ .

De plus, si  $G$  est homogène, alors les sous-groupes paraboliques de  $G$  sont stables par intersection.

Remarque: En pratique, la préservation du support est très difficile à vérifier.

Existe-t-il des groupes de Garside qui ne préservent pas le support ?

# Groupoïdes de Garside

$\mathcal{G}$  un groupoïde avec  $\mathcal{C} \subset \mathcal{G}$  une catégorie.

# Groupeïdes de Garside

$\mathcal{G}$  un groupeïde avec  $\mathcal{C} \subset \mathcal{G}$  une catégorie.

$\preccurlyeq$  désigne la divisibilité à gauche : pour  $u \in \text{Ob}(\mathcal{C})$ ,  $f, g \in \mathcal{C}(u, -)$ , on a

$$f \preccurlyeq g \Leftrightarrow \exists h \in \mathcal{C} \mid fh = g.$$

# Groupoïdes de Garside

$\mathcal{G}$  un groupoïde avec  $\mathcal{C} \subset \mathcal{G}$  une catégorie.

$\preccurlyeq$  désigne la divisibilité à gauche : pour  $u \in \text{Ob}(\mathcal{C})$ ,  $f, g \in \mathcal{C}(u, -)$ , on a

$$f \preccurlyeq g \Leftrightarrow \exists h \in \mathcal{C} \mid fh = g.$$

$\succcurlyeq$  désigne la divisibilité à droite : pour  $u \in \text{Ob}(\mathcal{C})$ ,  $f, g \in \mathcal{C}(-, u)$ , on a

$$g \succcurlyeq f \Leftrightarrow \exists h' \in \mathcal{C} \mid g = h'f.$$

# Groupoïdes de Garside

$\mathcal{G}$  un groupoïde avec  $\mathcal{C} \subset \mathcal{G}$  une catégorie.

$\preccurlyeq$  désigne la divisibilité à gauche : pour  $u \in \text{Ob}(\mathcal{C})$ ,  $f, g \in \mathcal{C}(u, -)$ , on a

$$f \preccurlyeq g \Leftrightarrow \exists h \in \mathcal{C} \mid fh = g.$$

$\succcurlyeq$  désigne la divisibilité à droite : pour  $u \in \text{Ob}(\mathcal{C})$ ,  $f, g \in \mathcal{C}(-, u)$ , on a

$$g \succcurlyeq f \Leftrightarrow \exists h' \in \mathcal{C} \mid g = h'f.$$

Pour  $\Delta : \text{Ob}(\mathcal{C}) \rightarrow \mathcal{C}$ , on pose

$$\begin{aligned} \text{Div}(\Delta) &= \{s \in \mathcal{C} \mid \exists u \in \text{Ob}(\mathcal{C}), s \preccurlyeq \Delta(u)\}, \\ \text{Div}_R(\Delta) &= \{s \in \mathcal{C} \mid \exists u \in \text{Ob}(\mathcal{C}), \Delta(u) \succcurlyeq s\}. \end{aligned}$$



# Groupeïdes de Garside

## Définition

**Structure de Garside** sur  $\mathcal{G}$  : catégorie  $\mathcal{C} \subset \mathcal{G}$  et  $\Delta : \text{Ob}(\mathcal{C}) \rightarrow \mathcal{C}$

# Groupeïdes de Garside

## Définition

**Structure de Garside** sur  $\mathcal{G}$  : catégorie  $\mathcal{C} \subset \mathcal{G}$  et  $\Delta : \text{Ob}(\mathcal{C}) \rightarrow \mathcal{C}$

- Pour  $u \in \text{Ob}(\mathcal{C})$ ,  $\Delta(u) \in \mathcal{C}(u, -)$ .

# Groupeïdes de Garside

## Définition

**Structure de Garside** sur  $\mathcal{G}$  : catégorie  $\mathcal{C} \subset \mathcal{G}$  et  $\Delta : \text{Ob}(\mathcal{C}) \rightarrow \mathcal{C}$

- Pour  $u \in \text{Ob}(\mathcal{C})$ ,  $\Delta(u) \in \mathcal{C}(u, -)$ .
- $\mathcal{C}$  engendre  $\mathcal{G}$  en tant que groupeïde.

# Groupoïdes de Garside

## Définition

**Structure de Garside** sur  $\mathcal{G}$  : catégorie  $\mathcal{C} \subset \mathcal{G}$  et  $\Delta : \text{Ob}(\mathcal{C}) \rightarrow \mathcal{C}$

- Pour  $u \in \text{Ob}(\mathcal{C})$ ,  $\Delta(u) \in \mathcal{C}(u, -)$ .
- $\mathcal{C}$  engendre  $\mathcal{G}$  en tant que groupoïde.
- Pour  $u \in \text{Ob}(\mathcal{C})$ ,  $(\mathcal{C}(u, -), \preceq)$  et  $(\mathcal{C}(-, u), \succcurlyeq)$  sont des treillis.

# Groupoïdes de Garside

## Définition

**Structure de Garside** sur  $\mathcal{G}$  : catégorie  $\mathcal{C} \subset \mathcal{G}$  et  $\Delta : \text{Ob}(\mathcal{C}) \rightarrow \mathcal{C}$

- Pour  $u \in \text{Ob}(\mathcal{C})$ ,  $\Delta(u) \in \mathcal{C}(u, -)$ .
- $\mathcal{C}$  engendre  $\mathcal{G}$  en tant que groupoïde.
- Pour  $u \in \text{Ob}(\mathcal{C})$ ,  $(\mathcal{C}(u, -), \preceq)$  et  $(\mathcal{C}(-, u), \succeq)$  sont des treillis.
- Pour  $f \in \mathcal{C}$ , la longueur d'une composition  $f = s_1 \cdots s_r$  avec  $s_i \neq 1$  dans  $\mathcal{C}$  est bornée.

# Groupoïdes de Garside

## Définition

**Structure de Garside** sur  $\mathcal{G}$  : catégorie  $\mathcal{C} \subset \mathcal{G}$  et  $\Delta : \text{Ob}(\mathcal{C}) \rightarrow \mathcal{C}$

- Pour  $u \in \text{Ob}(\mathcal{C})$ ,  $\Delta(u) \in \mathcal{C}(u, -)$ .
- $\mathcal{C}$  engendre  $\mathcal{G}$  en tant que groupoïde.
- Pour  $u \in \text{Ob}(\mathcal{C})$ ,  $(\mathcal{C}(u, -), \preceq)$  et  $(\mathcal{C}(-, u), \succeq)$  sont des treillis.
- Pour  $f \in \mathcal{C}$ , la longueur d'une composition  $f = s_1 \cdots s_r$  avec  $s_i \neq 1$  dans  $\mathcal{C}$  est bornée.
- $\text{Div}(\Delta) = \text{Div}_R(\Delta)$  est fini et engendre  $\mathcal{C}$ .

# Groupoïdes de Garside

## Définition

**Structure de Garside** sur  $\mathcal{G}$  : catégorie  $\mathcal{C} \subset \mathcal{G}$  et  $\Delta : \text{Ob}(\mathcal{C}) \rightarrow \mathcal{C}$

- Pour  $u \in \text{Ob}(\mathcal{C})$ ,  $\Delta(u) \in \mathcal{C}(u, -)$ .
- $\mathcal{C}$  engendre  $\mathcal{G}$  en tant que groupoïde.
- Pour  $u \in \text{Ob}(\mathcal{C})$ ,  $(\mathcal{C}(u, -), \preceq)$  et  $(\mathcal{C}(-, u), \succeq)$  sont des treillis.
- Pour  $f \in \mathcal{C}$ , la longueur d'une composition  $f = s_1 \cdots s_r$  avec  $s_i \neq 1$  dans  $\mathcal{C}$  est bornée.
- $\text{Div}(\Delta) = \text{Div}_R(\Delta)$  est fini et engendre  $\mathcal{C}$ .

$\Delta$  est une **application de Garside**.  $(\mathcal{G}, \mathcal{C}, \Delta)$  est un **groupoïde de Garside**.

# Groupoïdes de Garside

## Définition

**Structure de Garside** sur  $\mathcal{G}$  : catégorie  $\mathcal{C} \subset \mathcal{G}$  et  $\Delta : \text{Ob}(\mathcal{C}) \rightarrow \mathcal{C}$

- Pour  $u \in \text{Ob}(\mathcal{C})$ ,  $\Delta(u) \in \mathcal{C}(u, -)$ .
- $\mathcal{C}$  engendre  $\mathcal{G}$  en tant que groupoïde.
- Pour  $u \in \text{Ob}(\mathcal{C})$ ,  $(\mathcal{C}(u, -), \preceq)$  et  $(\mathcal{C}(-, u), \succeq)$  sont des treillis.
- Pour  $f \in \mathcal{C}$ , la longueur d'une composition  $f = s_1 \cdots s_r$  avec  $s_i \neq 1$  dans  $\mathcal{C}$  est bornée.
- $\text{Div}(\Delta) = \text{Div}_R(\Delta)$  est fini et engendre  $\mathcal{C}$ .

$\Delta$  est une **application de Garside**.  $(\mathcal{G}, \mathcal{C}, \Delta)$  est un **groupoïde de Garside**.

Pour  $u \in \text{Ob}(\mathcal{G})$ ,  $\mathcal{G}(u, u)$  est un **groupe de Garside faible**.



# Produits d'une structure de groupoïde de Garside

Un groupe de Garside  $(G, M, \Delta)$  donne les informations suivantes :

- Solution du problème du mot sur  $G$  (forme normale) (Dehornoy-Paris '99).
- Solution au problème de conjugaison dans  $G \longrightarrow$  étude de  $Z(G)$  (Picantin '01, Gebhardt-González-Meneses '10).
- Construction explicite d'un  $K(G, 1)$  fini (nerf de Garside) (Charney-Meier-Whittlesey '04) (Bessis '07).
- Calcul de l'homologie de  $M$ , qui coïncide avec celle de  $G$  (Dehornoy-Lafont '03).
- Les atomes de  $M$  donnent une présentation de  $M$ , et donc de  $G$  (Dehornoy-Paris '99).
- Notion de sous-groupe parabolique de  $G$  (Godelle '07).

# Produits d'une structure de groupoïde de Garside

Un groupoïde de Garside  $(\mathcal{G}, \mathcal{C}, \Delta)$  donne les informations suivantes :

- Solution du problème du mot sur  $G$  (forme normale) (Dehornoy-Paris '99).
- Solution au problème de conjugaison dans  $G \longrightarrow$  étude de  $Z(G)$  (Picantin '01, Gebhardt-González-Meneses '10).
- Construction explicite d'un  $K(G, 1)$  fini (nerf de Garside) (Charney-Meier-Whittlesey '04) (Bessis '07).
- Calcul de l'homologie de  $M$ , qui coïncide avec celle de  $G$  (Dehornoy-Lafont '03).
- Les atomes de  $M$  donnent une présentation de  $M$ , et donc de  $G$  (Dehornoy-Paris '99).
- Notion de sous-groupe parabolique de  $G$  (Godelle '07).

# Produits d'une structure de groupoïde de Garside

Un groupoïde de Garside  $(\mathcal{G}, \mathcal{C}, \Delta)$  donne les informations suivantes :

- Solution du problème du mot sur  $\mathcal{G}$  (forme normale) (Digne-Michel '06).
- Solution au problème de conjugaison dans  $G \longrightarrow$  étude de  $Z(G)$  (Picantin '01, Gebhardt-González-Meneses '10).
- Construction explicite d'un  $K(G, 1)$  fini (nerf de Garside) (Charney-Meier-Whittlesey '04) (Bessis '07).
- Calcul de l'homologie de  $M$ , qui coïncide avec celle de  $G$  (Dehornoy-Lafont '03).
- Les atomes de  $M$  donnent une présentation de  $M$ , et donc de  $G$  (Dehornoy-Paris '99).
- Notion de sous-groupe parabolique de  $G$  (Godelle '07).

# Produits d'une structure de groupoïde de Garside

Un groupoïde de Garside  $(\mathcal{G}, \mathcal{C}, \Delta)$  donne les informations suivantes :

- Solution du problème du mot sur  $\mathcal{G}$  (forme normale) (Digne-Michel '06).
- Solution au problème de conjugaison dans  $\mathcal{G}$ . (Dehornoy, Digne, Godelle, Krammer, Michel '15).
- Construction explicite d'un  $K(G, 1)$  fini (nerf de Garside) (Charney-Meier-Whittlesey '04) (Bessis '07).
- Calcul de l'homologie de  $M$ , qui coïncide avec celle de  $G$  (Dehornoy-Lafont '03).
- Les atomes de  $M$  donnent une présentation de  $M$ , et donc de  $G$  (Dehornoy-Paris '99).
- Notion de sous-groupe parabolique de  $G$  (Godelle '07).

# Produits d'une structure de groupoïde de Garside

Un groupoïde de Garside  $(\mathcal{G}, \mathcal{C}, \Delta)$  donne les informations suivantes :

- Solution du problème du mot sur  $\mathcal{G}$  (forme normale) (Digne-Michel '06).
- Solution au problème de conjugaison dans  $\mathcal{G}$ . (Dehornoy, Digne, Godelle, Krammer, Michel '15).
- Construction explicite d'un  $K(\mathcal{G}, 1)$  fini (nerf de Garside) (Bessis '07).
- Calcul de l'homologie de  $M$ , qui coïncide avec celle de  $G$  (Dehornoy-Lafont '03).
- Les atomes de  $M$  donnent une présentation de  $M$ , et donc de  $G$  (Dehornoy-Paris '99).
- Notion de sous-groupe parabolique de  $G$  (Godelle '07).

# Produits d'une structure de groupoïde de Garside

Un groupoïde de Garside  $(\mathcal{G}, \mathcal{C}, \Delta)$  donne les informations suivantes :

- Solution du problème du mot sur  $\mathcal{G}$  (forme normale)  
(Digne-Michel '06).
- Solution au problème de conjugaison dans  $\mathcal{G}$ .  
(Dehornoy, Digne, Godelle, Krammer, Michel '15).
- Construction explicite d'un  $K(\mathcal{G}, 1)$  fini (nerf de Garside)  
(Bessis '07).
- Calcul de l'homologie de  $\mathcal{C}$ , qui coïncide avec celle de  $\mathcal{G}$   
(Dehornoy, Digne, Godelle, Krammer, Michel '15) (G. '24).
- Les atomes de  $M$  donnent une présentation de  $M$ , et donc de  $G$   
(Dehornoy-Paris '99).
- Notion de sous-groupe parabolique de  $G$   
(Godelle '07).

# Produits d'une structure de groupoïde de Garside

Un groupoïde de Garside  $(\mathcal{G}, \mathcal{C}, \Delta)$  donne les informations suivantes :

- Solution du problème du mot sur  $\mathcal{G}$  (forme normale) (Digne-Michel '06).
- Solution au problème de conjugaison dans  $\mathcal{G}$ . (Dehornoy, Digne, Godelle, Krammer, Michel '15).
- Construction explicite d'un  $K(\mathcal{G}, 1)$  fini (nerf de Garside) (Bessis '07).
- Calcul de l'homologie de  $\mathcal{C}$ , qui coïncide avec celle de  $\mathcal{G}$  (Dehornoy, Digne, Godelle, Krammer, Michel '15) (G. '24).
- Les atomes de  $\mathcal{C}$  donnent une présentation de  $\mathcal{C}$ , et donc de  $\mathcal{G}$  (Dehornoy, Digne, Godelle, Krammer, Michel '15).
- Notion de sous-groupe parabolique de  $G$  (Godelle '07).

# Produits d'une structure de groupoïde de Garside

Un groupoïde de Garside  $(\mathcal{G}, \mathcal{C}, \Delta)$  donne les informations suivantes :

- Solution du problème du mot sur  $\mathcal{G}$  (forme normale) (Digne-Michel '06).
- Solution au problème de conjugaison dans  $\mathcal{G}$ . (Dehornoy, Digne, Godelle, Krammer, Michel '15).
- Construction explicite d'un  $K(\mathcal{G}, 1)$  fini (nerf de Garside) (Bessis '07).
- Calcul de l'homologie de  $\mathcal{C}$ , qui coïncide avec celle de  $\mathcal{G}$  (Dehornoy, Digne, Godelle, Krammer, Michel '15) (G. '24).
- Les atomes de  $\mathcal{C}$  donnent une présentation de  $\mathcal{C}$ , et donc de  $\mathcal{G}$  (Dehornoy, Digne, Godelle, Krammer, Michel '15).
- Notion de sous-groupoïde parabolique de  $\mathcal{G}$  (Godelle '10) (G. '24).



# Sous-groupoïdes paraboliques des groupoïdes de Garside

$(\mathcal{G}, \mathcal{C}, \Delta)$  groupoïde de Garside.

# Sous-groupoïdes paraboliques des groupoïdes de Garside

$(\mathcal{G}, \mathcal{C}, \Delta)$  groupoïde de Garside.

Les éléments de Garside paraboliques sont remplacés par des applications.

# Sous-groupoïdes paraboliques des groupoïdes de Garside

$(\mathcal{G}, \mathcal{C}, \Delta)$  groupoïde de Garside.

Les éléments de Garside paraboliques sont remplacés par des applications.

Pour  $\delta : E \subset \text{Ob}(\mathcal{C}) \rightarrow \mathcal{C}$ , on pose  $\mathcal{C}_\delta := \langle \text{Div}(\delta) \rangle^+$  et  $\mathcal{G}_\delta := \langle \text{Div}(\delta) \rangle$ .

# Sous-groupoïdes paraboliques des groupoïdes de Garside

$(\mathcal{G}, \mathcal{C}, \Delta)$  groupoïde de Garside.

Les éléments de Garside paraboliques sont remplacés par des applications.

Pour  $\delta : E \subset \text{Ob}(\mathcal{C}) \rightarrow \mathcal{C}$ , on pose  $\mathcal{C}_\delta := \langle \text{Div}(\delta) \rangle^+$  et  $\mathcal{G}_\delta := \langle \text{Div}(\delta) \rangle$ .

## Proposition (Godelle '10)

Si  $\delta$  est une **application de Garside parabolique**, alors  $(\mathcal{G}_\delta, \mathcal{C}_\delta, \delta)$  est de Garside, et appelé **sous-groupoïde parabolique standard** de  $(\mathcal{G}, \mathcal{C}, \Delta)$ .

# Sous-groupoïdes paraboliques des groupoïdes de Garside

$(\mathcal{G}, \mathcal{C}, \Delta)$  groupoïde de Garside.

Les éléments de Garside paraboliques sont remplacés par des applications.

Pour  $\delta : E \subset \text{Ob}(\mathcal{C}) \rightarrow \mathcal{C}$ , on pose  $\mathcal{C}_\delta := \langle \text{Div}(\delta) \rangle^+$  et  $\mathcal{G}_\delta := \langle \text{Div}(\delta) \rangle$ .

## Proposition (Godelle '10)

Si  $\delta$  est une **application de Garside parabolique**, alors  $(\mathcal{G}_\delta, \mathcal{C}_\delta, \delta)$  est de Garside, et appelé **sous-groupoïde parabolique standard** de  $(\mathcal{G}, \mathcal{C}, \Delta)$ .

## Définition (Godelle '10)

Un groupe de la forme  $G_\delta(u, u)$  est appelé **sous-groupe parabolique standard** de  $\mathcal{G}(u, u)$ . Pour  $g \in \mathcal{G}(v, u)$ , un groupe de la forme  $gG_\delta(u, u)g^{-1}$  est appelé un **sous-groupe parabolique** de  $\mathcal{G}(v, v)$ .

# Sous-groupoïdes paraboliques des groupoïdes de Garside

$(\mathcal{G}, \mathcal{C}, \Delta)$  groupoïde de Garside.

Les éléments de Garside paraboliques sont remplacés par des applications.

Pour  $\delta : E \subset \text{Ob}(\mathcal{C}) \rightarrow \mathcal{C}$ , on pose  $\mathcal{C}_\delta := \langle \text{Div}(\delta) \rangle^+$  et  $\mathcal{G}_\delta := \langle \text{Div}(\delta) \rangle$ .

## Proposition (Godelle '10)

Si  $\delta$  est une **application de Garside parabolique**, alors  $(\mathcal{G}_\delta, \mathcal{C}_\delta, \delta)$  est de Garside, et appelé **sous-groupoïde parabolique standard** de  $(\mathcal{G}, \mathcal{C}, \Delta)$ .

## Définition (Godelle '10)

Un groupe de la forme  $G_\delta(u, u)$  est appelé **sous-groupe parabolique standard** de  $\mathcal{G}(u, u)$ . Pour  $g \in \mathcal{G}(v, u)$ , un groupe de la forme  $gG_\delta(u, u)g^{-1}$  est appelé un **sous-groupe parabolique** de  $\mathcal{G}(v, v)$ .

On peut poser la question de l'intersection et des clôtures paraboliques dans les groupoïdes de Garside.

# Bancs

**Problème :** Les sous-groupoïdes paraboliques standards ne sont pas toujours stables par intersection !

# Bancs

**Problème :** Les sous-groupoïdes paraboliques standards ne sont pas toujours stables par intersection !

## Définition (G. '24)

**Banc:** famille  $\mathcal{T}$  de sous-groupoïdes paraboliques standards telle que

- $\mathcal{G} \in \mathcal{T}$  et  $\{1_u\}_{u \in \text{Ob}(\mathcal{G})} \in \mathcal{T}$ .
- $\mathcal{T}$  est stable par l'automorphisme de Garside (conjugaison par  $\Delta$ ).
- L'intersection de deux éléments de  $\mathcal{T}$ , si non vide, appartient à  $\mathcal{T}$ .



# Bancs

**Problème :** Les sous-groupoïdes paraboliques standards ne sont pas toujours stables par intersection !

## Définition (G. '24)

**Banc:** famille  $\mathcal{T}$  de sous-groupoïdes paraboliques standards telle que

- $\mathcal{G} \in \mathcal{T}$  et  $\{1_u\}_{u \in \text{Ob}(\mathcal{G})} \in \mathcal{T}$ .
- $\mathcal{T}$  est stable par l'automorphisme de Garside (conjugaison par  $\Delta$ ).
- L'intersection de deux éléments de  $\mathcal{T}$ , si non vide, appartient à  $\mathcal{T}$ .

## Définition (G. '24)

Pour  $\mathcal{G}_\delta \in \mathcal{T}$ ,  $u \in \text{Ob}(\mathcal{G}_\delta)$ , le groupe  $\mathcal{G}_\delta(u, u) \subset \mathcal{G}(u, u)$  est appelé un sous-groupe parabolique  **$\mathcal{T}$ -standard**. Les sous-groupes  **$\mathcal{T}$ -paraboliques** de  $\mathcal{G}(u, u)$  sont les conjugués des sous-groupes paraboliques  $\mathcal{T}$ -standards.

# Clôture $\mathcal{T}$ -parabolique

$(\mathcal{G}, \mathcal{C}, \Delta)$  groupoïde de Garside et  $u \in \text{Ob}(\mathcal{G})$ .

## Clôture $\mathcal{T}$ -parabolique

$(\mathcal{G}, \mathcal{C}, \Delta)$  groupoïde de Garside et  $u \in \text{Ob}(\mathcal{G})$ . Par définition, tout  $x \in \mathcal{G}(u, u)$  admet une clôture parabolique  $\mathcal{T}$ -standard notée  $\text{SPC}_{\mathcal{T}}(x)$ .

# Clôture $\mathcal{T}$ -parabolique

$(\mathcal{G}, \mathcal{C}, \Delta)$  groupoïde de Garside et  $u \in \text{Ob}(\mathcal{G})$ . Par définition, tout  $x \in \mathcal{G}(u, u)$  admet une clôture parabolique  $\mathcal{T}$ -standard notée  $\text{SPC}_{\mathcal{T}}(x)$ .

**Définition (G. '24)**

$\mathcal{T}$  **préserve le support** si pour tous  $x, y \in \mathcal{C}$  et  $\alpha \in \mathcal{G}$ , on a

$$x^\alpha = y \Rightarrow \text{SPC}_{\mathcal{T}}(x)^\alpha = \text{SPC}_{\mathcal{T}}(y)$$

# Clôture $\mathcal{T}$ -parabolique

$(\mathcal{G}, \mathcal{C}, \Delta)$  groupoïde de Garside et  $u \in \text{Ob}(\mathcal{G})$ . Par définition, tout  $x \in \mathcal{G}(u, u)$  admet une clôture parabolique  $\mathcal{T}$ -standard notée  $\text{SPC}_{\mathcal{T}}(x)$ .

## Définition (G. '24)

$\mathcal{T}$  **préserve le support** si pour tous  $x, y \in \mathcal{C}$  et  $\alpha \in \mathcal{G}$ , on a

$$x^\alpha = y \Rightarrow \text{SPC}_{\mathcal{T}}(x)^\alpha = \text{SPC}_{\mathcal{T}}(y)$$

## Théorème (G. '24)

Si  $\mathcal{T}$  préserve le support, alors les clôtures  $\mathcal{T}$ -paraboliques existent dans  $\mathcal{G}$ , et  $\text{SPC}_{\mathcal{T}}(x) = \text{PC}_{\mathcal{T}}(x)$  pour  $x \in \mathcal{C}$  endomorphisme.

# Clôture $\mathcal{T}$ -parabolique

$(\mathcal{G}, \mathcal{C}, \Delta)$  groupoïde de Garside et  $u \in \text{Ob}(\mathcal{G})$ . Par définition, tout  $x \in \mathcal{G}(u, u)$  admet une clôture parabolique  $\mathcal{T}$ -standard notée  $\text{SPC}_{\mathcal{T}}(x)$ .

## Définition (G. '24)

$\mathcal{T}$  **préserve le support** si pour tous  $x, y \in \mathcal{C}$  et  $\alpha \in \mathcal{G}$ , on a

$$x^\alpha = y \Rightarrow \text{SPC}_{\mathcal{T}}(x)^\alpha = \text{SPC}_{\mathcal{T}}(y)$$

## Théorème (G. '24)

Si  $\mathcal{T}$  préserve le support, alors les clôtures  $\mathcal{T}$ -paraboliques existent dans  $\mathcal{G}$ , et  $\text{SPC}_{\mathcal{T}}(x) = \text{PC}_{\mathcal{T}}(x)$  pour  $x \in \mathcal{C}$  endomorphisme.

- Pas encore d'argument général pour l'intersection des sous-groupes  $\mathcal{T}$ -paraboliques.

# Clôture $\mathcal{T}$ -parabolique

$(\mathcal{G}, \mathcal{C}, \Delta)$  groupoïde de Garside et  $u \in \text{Ob}(\mathcal{G})$ . Par définition, tout  $x \in \mathcal{G}(u, u)$  admet une clôture parabolique  $\mathcal{T}$ -standard notée  $\text{SPC}_{\mathcal{T}}(x)$ .

## Définition (G. '24)

$\mathcal{T}$  **préserve le support** si pour tous  $x, y \in \mathcal{C}$  et  $\alpha \in \mathcal{G}$ , on a

$$x^\alpha = y \Rightarrow \text{SPC}_{\mathcal{T}}(x)^\alpha = \text{SPC}_{\mathcal{T}}(y)$$

## Théorème (G. '24)

Si  $\mathcal{T}$  préserve le support, alors les clôtures  $\mathcal{T}$ -paraboliques existent dans  $\mathcal{G}$ , et  $\text{SPC}_{\mathcal{T}}(x) = \text{PC}_{\mathcal{T}}(x)$  pour  $x \in \mathcal{C}$  endomorphisme.

- Pas encore d'argument général pour l'intersection des sous-groupes  $\mathcal{T}$ -paraboliques.
- Comment construire des bancs avec des bonnes propriétés ?

# Méthode de Reidemeister-Schreier pour les groupoïdes

$S$  un graphe orienté.  $R$  un ensemble de couples de chemins dans  $S$ .



# Méthode de Reidemeister-Schreier pour les groupoïdes

$S$  un graphe orienté.  $R$  un ensemble de couples de chemins dans  $S$ .

$\mathcal{G} := \langle S \mid R \rangle$  groupoïde présenté.

Pour  $u \in \text{Ob}(\mathcal{G})$ ,  $\mathcal{G}(u, u)$  est un groupe.

# Méthode de Reidemeister-Schreier pour les groupoïdes

$S$  un graphe orienté.  $R$  un ensemble de couples de chemins dans  $S$ .

$\mathcal{G} := \langle S \mid R \rangle$  groupoïde présenté.

Pour  $u \in \text{Ob}(\mathcal{G})$ ,  $\mathcal{G}(u, u)$  est un groupe.

## Définition

Une **transversale de Schreier** est une famille  $T = \{t_v\}_{v \in \text{Ob}(S)}$  stable par préfixe et telle que pour tout  $v \in \text{Ob}(S)$ ,  $t_v : u \rightarrow v$ .

# Méthode de Reidemeister-Schreier pour les groupoïdes

$S$  un graphe orienté.  $R$  un ensemble de couples de chemins dans  $S$ .

$\mathcal{G} := \langle S \mid R \rangle$  groupoïde présenté.

Pour  $u \in \text{Ob}(\mathcal{G})$ ,  $\mathcal{G}(u, u)$  est un groupe.

## Définition

Une **transversale de Schreier** est une famille  $T = \{t_v\}_{v \in \text{Ob}(S)}$  stable par préfixe et telle que pour tout  $v \in \text{Ob}(S)$ ,  $t_v : u \rightarrow v$ .

Pour une telle transversale, et  $s \in S(v, v')$ ,  $\gamma(s) := t_v s (t_{v'})^{-1} \in \mathcal{G}(u, u)$ .

# Méthode de Reidemeister-Schreier pour les groupoïdes

$S$  un graphe orienté.  $R$  un ensemble de couples de chemins dans  $S$ .

$\mathcal{G} := \langle S \mid R \rangle$  groupoïde présenté.

Pour  $u \in \text{Ob}(\mathcal{G})$ ,  $\mathcal{G}(u, u)$  est un groupe.

## Définition

Une **transversale de Schreier** est une famille  $T = \{t_v\}_{v \in \text{Ob}(S)}$  stable par préfixe et telle que pour tout  $v \in \text{Ob}(S)$ ,  $t_v : u \rightarrow v$ .

Pour une telle transversale, et  $s \in S(v, v')$ ,  $\gamma(s) := t_v s (t_{v'})^{-1} \in \mathcal{G}(u, u)$ .

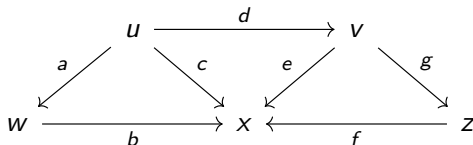
## Proposition (G. '21)

Le groupe  $\mathcal{G}(u, u)$  est engendré par  $\gamma(s)$  pour  $s \in S$ , avec les relations

$$\gamma(s_1) \cdots \gamma(s_p) = \gamma(t_1) \cdots \gamma(t_q)$$

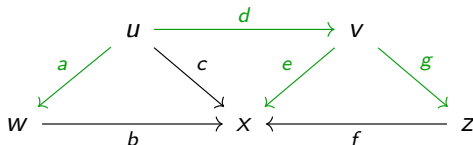
pour  $s_1 \cdots s_p = t_1 \cdots t_q \in R$ .

# Méthode de Reidemeister-Schreier pour les groupoïdes, exemple



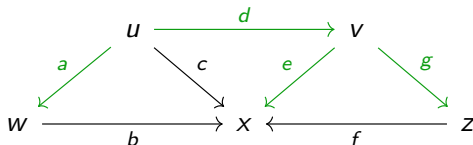
avec  $ab = c$

# Méthode de Reidemeister-Schreier pour les groupoïdes, exemple



avec  $ab = c$

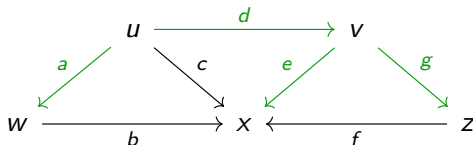
# Méthode de Reidemeister-Schreier pour les groupoïdes, exemple



avec  $ab = c$

- $\gamma(a) = \gamma(d) = \gamma(e) = \gamma(g) = 1_u$ .

# Méthode de Reidemeister-Schreier pour les groupoïdes, exemple

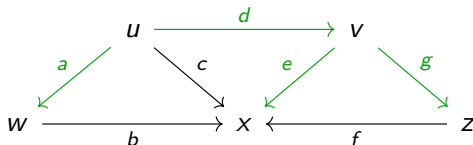


avec  $ab = c$

- $\gamma(a) = \gamma(d) = \gamma(e) = \gamma(g) = 1_u$ .
- $\gamma(b) = abe^{-1}d^{-1}$ ,



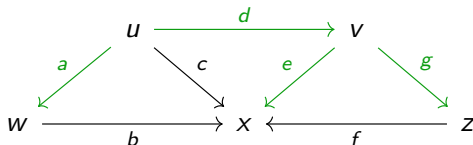
# Méthode de Reidemeister-Schreier pour les groupoïdes, exemple



avec  $ab = c$

- $\gamma(a) = \gamma(d) = \gamma(e) = \gamma(g) = 1_u$ .
- $\gamma(b) = abe^{-1}d^{-1}$ ,
- $\gamma(c) = ce^{-1}d^{-1}$ ,

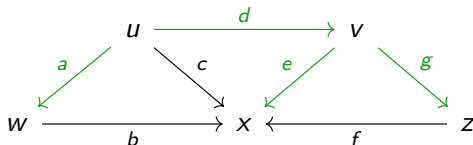
# Méthode de Reidemeister-Schreier pour les groupoïdes, exemple



avec  $ab = c$

- $\gamma(a) = \gamma(d) = \gamma(e) = \gamma(g) = 1_u$ .
- $\gamma(b) = abe^{-1}d^{-1}$ ,
- $\gamma(c) = ce^{-1}d^{-1}$ ,
- $\gamma(f) = dgfe^{-1}d^{-1}$ .

# Méthode de Reidemeister-Schreier pour les groupoïdes, exemple

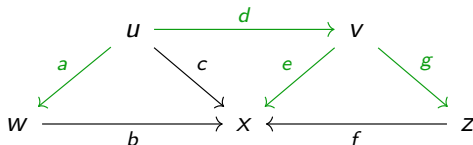


avec  $ab = c$

- $\gamma(a) = \gamma(d) = \gamma(e) = \gamma(g) = 1_u$ .
- $\gamma(b) = abe^{-1}d^{-1}$ ,
- $\gamma(c) = ce^{-1}d^{-1}$ ,
- $\gamma(f) = dgfe^{-1}d^{-1}$ .

$ab = c$  induit  $\gamma(b) = \gamma(c)$  (qui se vérifie aussi directement).

# Méthode de Reidemeister-Schreier pour les groupoïdes, exemple



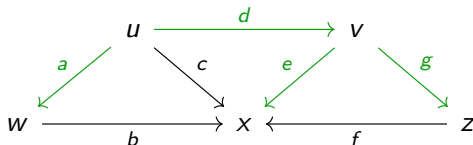
avec  $ab = c$

- $\gamma(a) = \gamma(d) = \gamma(e) = \gamma(g) = 1_u$ .
- $\gamma(b) = abe^{-1}d^{-1}$ ,
- $\gamma(c) = ce^{-1}d^{-1}$ ,
- $\gamma(f) = dgfe^{-1}d^{-1}$ .

$ab = c$  induit  $\gamma(b) = \gamma(c)$  (qui se vérifie aussi directement).

$$\mathcal{G}(u, u) = \langle \gamma(b), \gamma(c), \gamma(f) \rangle \simeq \langle X, Y, Z \mid X = Y \rangle = \langle X, Z \mid \emptyset \rangle.$$

# Méthode de Reidemeister-Schreier pour les groupoïdes, exemple



avec  $ab = c$

- $\gamma(a) = \gamma(d) = \gamma(e) = \gamma(g) = 1_u$ .
- $\gamma(b) = abe^{-1}d^{-1}$ ,
- $\gamma(c) = ce^{-1}d^{-1}$ ,
- $\gamma(f) = dgfe^{-1}d^{-1}$ .

$ab = c$  induit  $\gamma(b) = \gamma(c)$  (qui se vérifie aussi directement).

$$\mathcal{G}(u, u) = \langle \gamma(b), \gamma(c), \gamma(f) \rangle \simeq \langle X, Y, Z \mid X = Y \rangle = \langle X, Z \mid \emptyset \rangle.$$

Cette méthode requiert de lourdes simplifications.

# Le groupoïde de Springer

# Le groupoïde de Springer

## Theorem (Bessis '15)

$B_{31}$  est un groupe de Garside faible pour un groupoïde  $(\mathcal{B}_{31}, \mathcal{C}_{31}, \Delta)$ , le **Groupeïde de Springer**.

# Le groupoïde de Springer

## Theorem (Bessis '15)

$B_{31}$  est un groupe de Garside faible pour un groupoïde  $(\mathcal{B}_{31}, \mathcal{C}_{31}, \Delta)$ , le **Groupeïde de Springer**.

Le groupoïde  $\mathcal{B}_{31}$  est construit en général pour les centralisateurs d'éléments réguliers de Springer dans les groupes bien-engendrés.



# Le groupoïde de Springer

## Theorem (Bessis '15)

$B_{31}$  est un groupe de Garside faible pour un groupoïde  $(\mathcal{B}_{31}, \mathcal{C}_{31}, \Delta)$ , le **Groupoïde de Springer**.

Le groupoïde  $\mathcal{B}_{31}$  est construit en général pour les centralisateurs d'éléments réguliers de Springer dans les groupes bien-engendrés. Ici, on utilise  $G_{31} \hookrightarrow G_{37} \simeq E_8$  comme centralisateur d'un élément 4-régulier.

# Le groupoïde de Springer

## Theorem (Bessis '15)

$B_{31}$  est un groupe de Garside faible pour un groupoïde  $(\mathcal{B}_{31}, \mathcal{C}_{31}, \Delta)$ , le **Groupoïde de Springer**.

Le groupoïde  $\mathcal{B}_{31}$  est construit en général pour les centralisateurs d'éléments réguliers de Springer dans les groupes bien-engendrés. Ici, on utilise  $G_{31} \hookrightarrow G_{37} \simeq E_8$  comme centralisateur d'un élément 4-régulier. Beaucoup des résultats présentés plus bas sont des cas particuliers de résultats généraux sur les groupoïdes de Springer.

# Le groupoïde de Springer

## Theorem (Bessis '15)

$B_{31}$  est un groupe de Garside faible pour un groupoïde  $(\mathcal{B}_{31}, \mathcal{C}_{31}, \Delta)$ , le **Groupoïde de Springer**.

Le groupoïde  $\mathcal{B}_{31}$  est construit en général pour les centralisateurs d'éléments réguliers de Springer dans les groupes bien-engendrés. Ici, on utilise  $G_{31} \hookrightarrow G_{37} \simeq E_8$  comme centralisateur d'un élément 4-régulier. Beaucoup des résultats présentés plus bas sont des cas particuliers de résultats généraux sur les groupoïdes de Springer.

## Corollary (Bessis '15)

*L'espace des orbites régulières pour  $G_{31}$  est un classifiant pour  $B_{31}$ .*

# Le groupoïde de Springer

## Theorem (Bessis '15)

$B_{31}$  est un groupe de Garside faible pour un groupoïde  $(\mathcal{B}_{31}, \mathcal{C}_{31}, \Delta)$ , le **Groupoïde de Springer**.

Le groupoïde  $\mathcal{B}_{31}$  est construit en général pour les centralisateurs d'éléments réguliers de Springer dans les groupes bien-engendrés. Ici, on utilise  $G_{31} \hookrightarrow G_{37} \simeq E_8$  comme centralisateur d'un élément 4-régulier. Beaucoup des résultats présentés plus bas sont des cas particuliers de résultats généraux sur les groupoïdes de Springer.

## Corollary (Bessis '15)

*L'espace des orbites régulières pour  $G_{31}$  est un classifiant pour  $B_{31}$ .*

## Corollary (Bessis '15)

*Le centre de  $B_{31}$  est monogène et engendré par  $z_{B_{31}}$ .*

# Présentation de $B_{31}$

Le groupoïde  $\mathcal{B}_{31}$  admet une présentation

$$\mathcal{B}_{31} = \langle \text{atomes} \mid \text{carrés commutatifs d'atomes} \rangle.$$

# Présentation de $B_{31}$

Le groupoïde  $\mathcal{B}_{31}$  admet une présentation

$$\mathcal{B}_{31} = \langle \text{atomes (660)} \mid \text{carrés commutatifs d'atomes (4230)} \rangle.$$

# Présentation de $B_{31}$

Le groupoïde  $B_{31}$  admet une présentation

$$B_{31} = \langle \text{atomes (660)} \mid \text{carrés commutatifs d'atomes (4230)} \rangle.$$

En appliquant la méthode de Reidemeister-Schreier, on obtient

## Théorème (G. '21)

Le groupe  $B_{31}$  admet (entre autres) la présentation suivante

$$\left\langle s, t, u, v, w \mid \begin{array}{l} st = ts, \quad vt = tv, \quad wv = vw, \\ suw = uws = wsu, \\ svv = vsv, \quad vuv = uvu, \quad utu = tut, \quad twt = wtw \end{array} \right\rangle.$$

# Présentation de $B_{31}$

Le groupoïde  $B_{31}$  admet une présentation

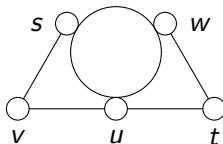
$$B_{31} = \langle \text{atomes (660)} \mid \text{carrés commutatifs d'atomes (4230)} \rangle.$$

En appliquant la méthode de Reidemeister-Schreier, on obtient

## Théorème (G. '21)

Le groupe  $B_{31}$  admet (entre autres) la présentation suivante

$$\left\langle s, t, u, v, w \mid \begin{array}{l} st = ts, \quad vt = tv, \quad wv = vw, \\ suw = uws = wsu, \\ svu = vsv, \quad vuv = uvu, \quad utu = tut, \quad twt = wtw \end{array} \right\rangle.$$





## Centre de $P_{31}$

### Théorème (Digne, Marin, Michel '11)

Soit  $W$  un GRC irréductible, et soit  $U \subset B$  d'indice fini. Alors  $Z(U) \subset Z(B)$ . Cela s'applique en particulier pour  $U = P$ .

## Centre de $P_{31}$

### Théorème (Digne, Marin, Michel '11)

Soit  $W$  un GRC irréductible, et soit  $U \subset B$  d'indice fini. Alors  $Z(U) \subset Z(B)$ . Cela s'applique en particulier pour  $U = P$ .

La preuve repose sur la théorie de Garside **sauf pour**  $G_{31}$ .

## Centre de $P_{31}$

### Théorème (Digne, Marin, Michel '11)

Soit  $W$  un GRC irréductible, et soit  $U \subset B$  d'indice fini. Alors  $Z(U) \subset Z(B)$ . Cela s'applique en particulier pour  $U = P$ .

La preuve repose sur la théorie de Garside **sauf pour**  $G_{31}$ .

Argument principal :

## Centre de $P_{31}$

### Théorème (Digne, Marin, Michel '11)

Soit  $W$  un GRC irréductible, et soit  $U \subset B$  d'indice fini. Alors  $Z(U) \subset Z(B)$ . Cela s'applique en particulier pour  $U = P$ .

La preuve repose sur la théorie de Garside **sauf pour**  $G_{31}$ .

Argument principal :

- $B$  a une structure de Garside  $(G, M, \Delta)$ .

# Centre de $P_{31}$

## Théorème (Digne, Marin, Michel '11)

Soit  $W$  un GRC irréductible, et soit  $U \subset B$  d'indice fini. Alors  $Z(U) \subset Z(B)$ . Cela s'applique en particulier pour  $U = P$ .

La preuve repose sur la théorie de Garside **sauf pour**  $G_{31}$ .

Argument principal :

- $B$  a une structure de Garside  $(G, M, \Delta)$ .
- Les atomes de  $M$  représentent toutes les réflexions tressées à conjugaison près.

# Centre de $P_{31}$

## Théorème (Digne, Marin, Michel '11)

Soit  $W$  un GRC irréductible, et soit  $U \subset B$  d'indice fini. Alors  $Z(U) \subset Z(B)$ . Cela s'applique en particulier pour  $U = P$ .

La preuve repose sur la théorie de Garside **sauf pour**  $G_{31}$ .

Argument principal :

- $B$  a une structure de Garside  $(G, M, \Delta)$ .
- Les atomes de  $M$  représentent toutes les réflexions tressées à conjugaison près.
- Montrer que pour  $s$  atome et  $x \in G$ , alors  $xs^n = s^n x$  entraîne  $xs = sx$ .

## Centre de $P_{31}$

### Théorème (Digne, Marin, Michel '11)

Soit  $W$  un GRC irréductible, et soit  $U \subset B$  d'indice fini. Alors  $Z(U) \subset Z(B)$ . Cela s'applique en particulier pour  $U = P$ .

La preuve repose sur la théorie de Garside **sauf pour**  $G_{31}$ .

Argument principal :

- $B$  a une structure de Garside  $(G, M, \Delta)$ .
- Les atomes de  $M$  représentent toutes les réflexions tressées à conjugaison près.
- Montrer que pour  $s$  atome et  $x \in G$ , alors  $xs^n = s^n x$  entraîne  $xs = sx$ .

Problème : comment retrouver les réflexions tressées dans le groupoïde de Springer ?

# Centre de $P_{31}$

Soit  $u \in \text{Ob}(\mathcal{B}_{31})$ .



## Centre de $P_{31}$

Soit  $u \in \text{Ob}(\mathcal{B}_{31})$ . Le monoïde  $\mathcal{C}_{31}(u, u)$  contient un ensemble fini bien défini de **boucles atomiques**.

## Centre de $P_{31}$

Soit  $u \in \text{Ob}(\mathcal{B}_{31})$ . Le monoïde  $\mathcal{C}_{31}(u, u)$  contient un ensemble fini bien défini de **boucles atomiques**.

### Proposition (G. '23)

Les réflexions tressées de  $B_{31} \simeq \mathcal{B}_{31}(u, u)$  sont exactement les conjugués dans  $\mathcal{B}_{31}$  des boucles atomiques. Si  $s$  est une boucle atomique dans  $\mathcal{C}_{31}$ , et  $x \in \mathcal{B}_{31}$  est tel que  $xs^n = s^n x$ , alors on a  $xs = sx$ .

## Centre de $P_{31}$

Soit  $u \in \text{Ob}(\mathcal{B}_{31})$ . Le monoïde  $\mathcal{C}_{31}(u, u)$  contient un ensemble fini bien défini de **boucles atomiques**.

### Proposition (G. '23)

Les réflexions tressées de  $B_{31} \simeq \mathcal{B}_{31}(u, u)$  sont exactement les conjugués dans  $\mathcal{B}_{31}$  des boucles atomiques. Si  $s$  est une boucle atomique dans  $\mathcal{C}_{31}$ , et  $x \in \mathcal{B}_{31}$  est tel que  $xs^n = s^n x$ , alors on a  $xs = sx$ .

### Corollaire

Soit  $\sigma \in B_{31}$  une réflexion tressées. Si  $x\sigma^n = \sigma^n x$ , alors  $x\sigma = \sigma x$ .

# Centre de $P_{31}$

Soit  $u \in \text{Ob}(\mathcal{B}_{31})$ . Le monoïde  $\mathcal{C}_{31}(u, u)$  contient un ensemble fini bien défini de **boucles atomiques**.

## Proposition (G. '23)

Les réflexions tressées de  $B_{31} \simeq \mathcal{B}_{31}(u, u)$  sont exactement les conjugués dans  $\mathcal{B}_{31}$  des boucles atomiques. Si  $s$  est une boucle atomique dans  $\mathcal{C}_{31}$ , et  $x \in \mathcal{B}_{31}$  est tel que  $xs^n = s^n x$ , alors on a  $xs = sx$ .

## Corollaire

Soit  $\sigma \in B_{31}$  une réflexion tressées. Si  $x\sigma^n = \sigma^n x$ , alors  $x\sigma = \sigma x$ .

Remarque : Pour tout  $u \in \text{Ob}(\mathcal{B}_{31})$ , les boucles atomiques de  $\mathcal{C}_{31}(u, u)$  engendrent  $\mathcal{B}_{31}(u, u)$ .

# Calculs d'homologie

Il existe un morphisme  $\ell : B_{31} \rightarrow \mathbb{Z}$  qui envoie réflexions tressées sur 1.  
On en déduit deux  $B_{31}$ -modules :

## Calculs d'homologie

Il existe un morphisme  $\ell : B_{31} \rightarrow \mathbb{Z}$  qui envoie réflexions tressées sur 1.  
On en déduit deux  $B_{31}$ -modules :

- $\mathbb{Z}_\varepsilon := \mathbb{Z}$  où  $b \in B_{31}$  agit par multiplication par  $(-1)^{\ell(b)}$ .

# Calculs d'homologie

Il existe un morphisme  $\ell : B_{31} \rightarrow \mathbb{Z}$  qui envoie réflexions tressées sur 1.  
On en déduit deux  $B_{31}$ -modules :

- $\mathbb{Z}_\varepsilon := \mathbb{Z}$  où  $b \in B_{31}$  agit par multiplication par  $(-1)^{\ell(b)}$ .
- $\mathbb{Q}[t, t^{-1}]$  où  $b \in B_{31}$  agit par multiplication par  $t^{\ell(b)}$ .

# Calculs d'homologie

Il existe un morphisme  $\ell : B_{31} \rightarrow \mathbb{Z}$  qui envoie réflexions tressées sur 1.  
On en déduit deux  $B_{31}$ -modules :

- $\mathbb{Z}_\varepsilon := \mathbb{Z}$  où  $b \in B_{31}$  agit par multiplication par  $(-1)^{\ell(b)}$ .
- $\mathbb{Q}[t, t^{-1}]$  où  $b \in B_{31}$  agit par multiplication par  $t^{\ell(b)}$ .

En utilisant  $\mathcal{B}_{31}$ , on peut calculer l'homologie de  $B_{31}$  à coefficients dans ces modules.



# Calculs d'homologie

Il existe un morphisme  $\ell : B_{31} \rightarrow \mathbb{Z}$  qui envoie réflexions tressées sur 1. On en déduit deux  $B_{31}$ -modules :

- $\mathbb{Z}_\varepsilon := \mathbb{Z}$  où  $b \in B_{31}$  agit par multiplication par  $(-1)^{\ell(b)}$ .
- $\mathbb{Q}[t, t^{-1}]$  où  $b \in B_{31}$  agit par multiplication par  $t^{\ell(b)}$ .

En utilisant  $B_{31}$ , on peut calculer l'homologie de  $B_{31}$  à coefficients dans ces modules.

## Proposition (G. '24)

$B(G_{31})$	$H_0$	$H_1$	$H_2$	$H_3$	$H_4$
$\mathbb{Z}$	$\mathbb{Z}$	$\mathbb{Z}$	$\mathbb{Z}_6$	$\mathbb{Z}$	$\mathbb{Z}$
$\mathbb{Z}_\varepsilon$	$\mathbb{Z}_2$	0	$\mathbb{Z}_6$	$\mathbb{Z}_{20}$	0
$\mathbb{Q}[t, t^{-1}]$	$\mathbb{Q}$	0	$\Phi_6$	$\frac{t^{10}-1}{t+1}\Phi_{15}$	0

Où  $\mathbb{Z}_n$  désigne  $\mathbb{Z}/n\mathbb{Z}$  et  $P(t)$  désigne  $\mathbb{Q}[t, t^{-1}]/(P(t))$ .

## Sous-groupes paraboliques des groupes de tresses

En 2022, González-Meneses et Marin introduisent pour  $W$  quelconque une notion topologique de sous-groupe parabolique de  $B$ , qui dépend uniquement de la paire topologique  $(V/W, X/W)$ .

## Sous-groupes paraboliques des groupes de tresses

En 2022, González-Meneses et Marin introduisent pour  $W$  quelconque une notion topologique de sous-groupe parabolique de  $B$ , qui dépend uniquement de la paire topologique  $(V/W, X/W)$ .

Les sous-groupes paraboliques irréductibles de  $B$  forment les sommets d'un graphe  $\Gamma$  dans lequel  $B_1, B_2$  sont adjacents si  $B_1 \neq B_2$  et soit  $B_1 \subset B_2, B_2 \subset B_1$ , ou  $B_1 \cap B_2 = [B_1, B_2] = \{1\}$ .

## Sous-groupes paraboliques des groupes de tresses

En 2022, González-Meneses et Marin introduisent pour  $W$  quelconque une notion topologique de sous-groupe parabolique de  $B$ , qui dépend uniquement de la paire topologique  $(V/W, X/W)$ .

Les sous-groupes paraboliques irréductibles de  $B$  forment les sommets d'un graphe  $\Gamma$  dans lequel  $B_1, B_2$  sont adjacents si  $B_1 \neq B_2$  et soit  $B_1 \subset B_2, B_2 \subset B_1$ , ou  $B_1 \cap B_2 = [B_1, B_2] = \{1\}$ .

Theorem (González-Meneses, Marin '22)

*On suppose  $W$  irréductible et différent de  $G_{31}$ .*

# Sous-groupes paraboliques des groupes de tresses

En 2022, González-Meneses et Marin introduisent pour  $W$  quelconque une notion topologique de sous-groupe parabolique de  $B$ , qui dépend uniquement de la paire topologique  $(V/W, X/W)$ .

Les sous-groupes paraboliques irréductibles de  $B$  forment les sommets d'un graphe  $\Gamma$  dans lequel  $B_1, B_2$  sont adjacents si  $B_1 \neq B_2$  et soit  $B_1 \subset B_2, B_2 \subset B_1$ , ou  $B_1 \cap B_2 = [B_1, B_2] = \{1\}$ .

## Theorem (González-Meneses, Marin '22)

*On suppose  $W$  irréductible et différent de  $G_{31}$ .*

- ① *Tout  $x \in B$  est contenu dans un sous-groupe parabolique minimal  $PC(x)$ . On a  $PC(x^m) = PC(x)$  pour tout  $m \neq 0$ .*

# Sous-groupes paraboliques des groupes de tresses

En 2022, González-Meneses et Marin introduisent pour  $W$  quelconque une notion topologique de sous-groupe parabolique de  $B$ , qui dépend uniquement de la paire topologique  $(V/W, X/W)$ .

Les sous-groupes paraboliques irréductibles de  $B$  forment les sommets d'un graphe  $\Gamma$  dans lequel  $B_1, B_2$  sont adjacents si  $B_1 \neq B_2$  et soit  $B_1 \subset B_2, B_2 \subset B_1$ , ou  $B_1 \cap B_2 = [B_1, B_2] = \{1\}$ .

## Theorem (González-Meneses, Marin '22)

*On suppose  $W$  irréductible et différent de  $G_{31}$ .*

- ❶ *Tout  $x \in B$  est contenu dans un sous-groupe parabolique minimal  $PC(x)$ . On a  $PC(x^m) = PC(x)$  pour tout  $m \neq 0$ .*
- ❷ *Les sous-groupes paraboliques de  $B$  sont stables par intersection.*

# Sous-groupes paraboliques des groupes de tresses

En 2022, González-Meneses et Marin introduisent pour  $W$  quelconque une notion topologique de sous-groupe parabolique de  $B$ , qui dépend uniquement de la paire topologique  $(V/W, X/W)$ .

Les sous-groupes paraboliques irréductibles de  $B$  forment les sommets d'un graphe  $\Gamma$  dans lequel  $B_1, B_2$  sont adjacents si  $B_1 \neq B_2$  et soit  $B_1 \subset B_2, B_2 \subset B_1$ , ou  $B_1 \cap B_2 = [B_1, B_2] = \{1\}$ .

## Theorem (González-Meneses, Marin '22)

*On suppose  $W$  irréductible et différent de  $G_{31}$ .*

- ❶ *Tout  $x \in B$  est contenu dans un sous-groupe parabolique minimal  $PC(x)$ . On a  $PC(x^m) = PC(x)$  pour tout  $m \neq 0$ .*
- ❷ *Les sous-groupes paraboliques de  $B$  sont stables par intersection.*
- ❸  *$B_1, B_2$  sont adjacents dans  $\Gamma$  si et seulement si  $z_{B_1}z_{B_2} = z_{B_2}z_{B_1}$ , où  $\langle z_{B_i} \rangle = Z(B_i)$ .*

# Approche générale

Stratégie de preuve pour les deux premiers points :



# Approche générale

Stratégie de preuve pour les deux premiers points :

- Avoir une structure de Garside homogène  $(G, M, \Delta)$  sur  $B$ .

# Approche générale

Stratégie de preuve pour les deux premiers points :

- Avoir une structure de Garside homogène  $(G, M, \Delta)$  sur  $B$ .
- Montrer que les sous-groupes paraboliques algébriques et topologiques coïncident.

# Approche générale

Stratégie de preuve pour les deux premiers points :

- Avoir une structure de Garside homogène  $(G, M, \Delta)$  sur  $B$ .
- Montrer que les sous-groupes paraboliques algébriques et topologiques coïncident.
- Montrer que la structure de Garside préserve le support.

# Approche générale

Stratégie de preuve pour les deux premiers points :

- Avoir une structure de Garside homogène  $(G, M, \Delta)$  sur  $B$ .
- Montrer que les sous-groupes paraboliques algébriques et topologiques coïncident.
- Montrer que la structure de Garside préserve le support.

Dans leur article, González-Meneses et Marin montrent la préservation du support pour

# Approche générale

Stratégie de preuve pour les deux premiers points :

- Avoir une structure de Garside homogène  $(G, M, \Delta)$  sur  $B$ .
- Montrer que les sous-groupes paraboliques algébriques et topologiques coïncident.
- Montrer que la structure de Garside préserve le support.

Dans leur article, González-Meneses et Marin montrent la préservation du support pour

- Le “monoïde parachute” pour  $G(e, e, n)$ .

# Approche générale

Stratégie de preuve pour les deux premiers points :

- Avoir une structure de Garside homogène  $(G, M, \Delta)$  sur  $B$ .
- Montrer que les sous-groupes paraboliques algébriques et topologiques coïncident.
- Montrer que la structure de Garside préserve le support.

Dans leur article, González-Meneses et Marin montrent la préservation du support pour

- Le “monoïde parachute” pour  $G(e, e, n)$ .
- Les monoïdes duaux de type  $G_{24}, G_{27}, G_{29}, G_{33}, G_{34}$ .

# Approche générale

Stratégie de preuve pour les deux premiers points :

- Avoir une structure de Garside homogène  $(G, M, \Delta)$  sur  $B$ .
- Montrer que les sous-groupes paraboliques algébriques et topologiques coïncident.
- Montrer que la structure de Garside préserve le support.

Dans leur article, González-Meneses et Marin montrent la préservation du support pour

- Le “monoïde parachute” pour  $G(e, e, n)$ .
- Les monoïdes duaux de type  $G_{24}, G_{27}, G_{29}, G_{33}, G_{34}$ .

## Théorème (G. '24)

Soit  $W$  un CRG irréductible et bien-engendré. La structure duale  $(G(W), M(W), \Delta)$  préserve le support.

## Approche pour $B_{31}$

On veut généraliser l'approche précédente au groupoïde de Springer



## Approche pour $B_{31}$

On veut généraliser l'approche précédente au groupoïde de Springer

### Théorème (G. '24)

Il y a un banc  $\mathcal{T}$  sur  $\mathcal{B}_{31}$  qui préserve le support et tel que les sous-groupes  $\mathcal{T}$ -paraboliques de  $\mathcal{B}_{31}(u, u)$  coïncident avec les sous-groupes paraboliques topologiques de  $B_{31} \simeq \mathcal{B}_{31}(u, u)$ .

## Approche pour $B_{31}$

On veut généraliser l'approche précédente au groupoïde de Springer

### Théorème (G. '24)

Il y a un banc  $\mathcal{T}$  sur  $\mathcal{B}_{31}$  qui préserve le support et tel que les sous-groupes  $\mathcal{T}$ -paraboliques de  $\mathcal{B}_{31}(u, u)$  coïncident avec les sous-groupes paraboliques topologiques de  $B_{31} \simeq \mathcal{B}_{31}(u, u)$ .

### Corollaire

Les clôtures paraboliques existent dans  $B_{31}$ .

## Approche pour $B_{31}$

On veut généraliser l'approche précédente au groupoïde de Springer

### Théorème (G. '24)

Il y a un banc  $\mathcal{T}$  sur  $B_{31}$  qui préserve le support et tel que les sous-groupes  $\mathcal{T}$ -paraboliques de  $B_{31}(u, u)$  coïncident avec les sous-groupes paraboliques topologiques de  $B_{31} \simeq B_{31}(u, u)$ .

### Corollaire

Les clôtures paraboliques existent dans  $B_{31}$ .

En imitant la preuve du 2ème point donnée en général par González-Meneses et Marin, on obtient aussi

## Approche pour $B_{31}$

On veut généraliser l'approche précédente au groupoïde de Springer

### Théorème (G. '24)

Il y a un banc  $\mathcal{T}$  sur  $B_{31}$  qui préserve le support et tel que les sous-groupes  $\mathcal{T}$ -paraboliques de  $B_{31}(u, u)$  coïncident avec les sous-groupes paraboliques topologiques de  $B_{31} \simeq B_{31}(u, u)$ .

### Corollaire

Les clôtures paraboliques existent dans  $B_{31}$ .

En imitant la preuve du 2ème point donnée en général par González-Meneses et Marin, on obtient aussi

### Corollary

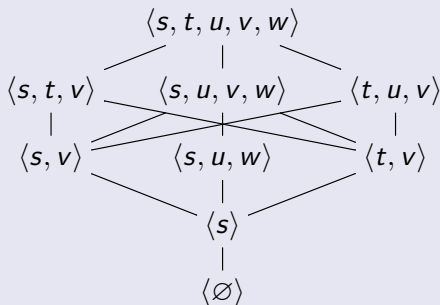
Les sous-groupes paraboliques de  $B_{31}$  sont stables par intersection.

## Théorème (G. '24)

Le treillis des sous-groupes paraboliques de  $B_{31}$  à conjugaison près est donné par

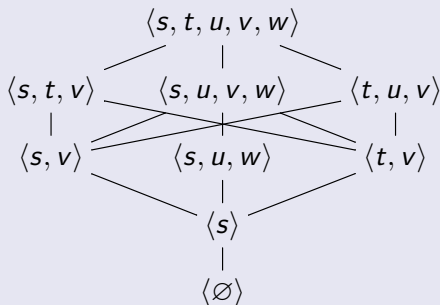
## Théorème (G. '24)

Le treillis des sous-groupes paraboliques de  $B_{31}$  à conjugaison près est donné par



## Théorème (G. '24)

Le treillis des sous-groupes paraboliques de  $B_{31}$  à conjugaison près est donné par

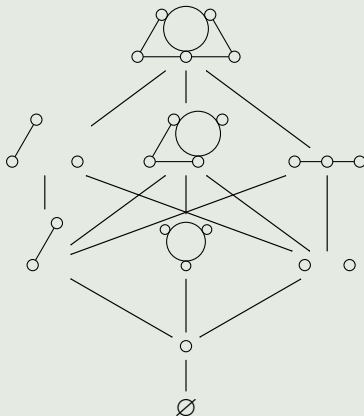


## Corollaire (G. '24)

Le point C du théorème de González-Meneses, Marin est vrai pour  $G_{31}$ .

## Corollaire

Le diagramme de BMR de  $G_{31}$  fournit des présentations des sous-groupes paraboliques.





**Merci à vous !**